

# الکتروپلیمر شدن تیوفن و برخی مشتقات آن

Electropolymerization of Thiophenes and some of its Derivatives

بهزاد پودعباس خیر الدین - ناصر ارسلانی - علی اکبر انتظامی

دانشکده شیمی - دانشگاه تبریز

- واژه‌های کلیدی:

تیوفن، بیلی تیوفن، پلیمرهای رسانا، الکتروپلیمر شدن، ولتاوتری پروخهای

- واکنش الکتروپلیمر شدن از سه جنبه قابل بررسی است:
- استوکیومتری الکتروشیمیایی و واکنش ایجاد فیلم.
- پارامترهایی که تعیین کننده استعداد مولکول برای واکنش الکتروپلیمر شدن است.

- چگونگی استعداد مولکول برای واکنش پلیمر شدن، نظریه فعالیت و حساسیت آن به استخلافهای موجود.

اثرهای استخلاف را می‌توان به موارد زیر دسته‌بندی کرد:

۱- اثر الکترونی، یعنی تأثیر استخلاف بر توزیع الکترونی روی مواضع فعال ،

۲- اثر فضایی، یعنی تأثیر استخلاف در ایجاد ازدحام فضایی در نزدیکی یا روی مواضع فعال.

پارامترهای دیگری، نظریه خواص فیلم پلیمری حاصل، بسته به اینکه در کاربرد نهایی این پلیمرها چه خواص ویژه‌ای مورد نیاز باشد نیز مهم‌اند. این خواص شامل تغییر پذیری رسانش الکتریکی فیلم و خواص مکانیکی آن است. چنین اهدافی می‌تواند با انجام اصلاحات شیمیایی روی فیلم پلیمری، محلول الکتروولیت و ساختار مولکولی مونomer تحقق یابد که آخری مربوط به آثار استخلاف می‌شود که بعداً مورد بررسی قرار خواهد گرفت.

یکی از نتایج مهمی که از واکنش الکتروپلیمر شدن حاصل می‌شود این است که واکنش یاد شده دارای استوکیومتری الکتروشیمیایی است [2]. واکنش الکتروپلیمر شدن با مقدار  $\Delta$  (تعداد الکtron مبادله شده به ازای هر مولکول) اندکی بیشتر از ۲ صورت می‌گیرد [2,4,6]، مقدار  $\Delta$  را می‌توان به روش‌های گوناگون به دست آورد. یکی از متداولترین روشها، استفاده از نیکلسون و شاین برای واکنشهای برگشت ناپذیر در ولتاوگرام است [7]. برای اغلب واکنشهای ایجاد فیلم، مقدار  $\Delta$  در حدود  $2/0$  تا  $2/7$  است [12] - [6, 8] - [2]. بنابراین، دو الکترون به ازای هر مولکول در واکنش ایجاد فیلم شرکت دارد و بارهای اضافه بر ۲ در الکترواکسایش فیلم پلیمری مصرف می‌شود.

چکیده

پلی تیوفنهای رسانا به دو روش الکتروشیمیایی و شیمیایی تهیه می‌شوند. در روش الکتروشیمیایی پلی تیوفنهای با رسانندگی بیار بالا به دست می‌آید. این پلیمرها در برایر هوا پایداری نسبتاً خوبی دارند و می‌توانند کاربردهای گسترده‌ای در صنایع داشته باشند. از این رو، الکتروپلیمر شدن تیوفن و مشتقات آن در حللاهای مختلف در حضور الکترونها گوناگون و در شرایط کاملاً متنوع به طور وسیع بررسی شده است. در این مقاله مکانیسم الکتروپلیمر شدن تیوفن و برخی مشتقات آن، تأثیر استخلافهای بر الکتروپلیمر شدن، استوکیومتری واکنش ایجاد فیلم پلیمری، رفتار الکتروشیمیایی فیلهای تشکیل شده در سطح الکترود، طیف نگاری در حین رشد زنجیرها و چگونگی جذب مونومر تیوفن به سطح الکترود مورد بررسی قرار گرفته است.

مقدمه

اکسایش الکتروشیمیایی ناجور حلقه‌های آروماتیک، بیترن مانندها و نایترن مانندها غالباً منجر به ایجاد فیلم پلیمری با خاصیت رسانایی الکتریکی در سطح الکترود می‌شود [1-5]. فیلهای نازک پلیمری هنگامی که روی سطح الکترود کشیده شوند می‌توانند به صورت الکتروشیمیایی بین حالت‌های اکسایش (رسانا) و خشی (نیم رسانا) چرخش داده شوند. فیلهای ضخیمتر را می‌توان در حالت اکسیده آنها، یعنی در حالت رسانا تهیه کرد و سپس از سطح الکترود جدا ساخت. از مولکولهای آلی مختلف فیلهای رسانای پلیمری متوجه تاکتون تهیه شده است که ناجور حلقه‌ای نظیر پیروول، تیوفن، ایندول، تیانفلان و کاربازول از آن جمله‌اند. فیلهای پلیمری رسانا همچنین از نایترن مانندهای چند حلقه‌ای و هیدروکربنها نایترن مانند نظیر آزولن، ظورن، تری فیلن و پیرون نیز تهیه شده‌اند [1-5].

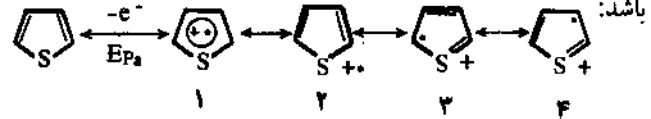
Key Words: thiophene, polythiophene, conducting polymers, electropolymerization, cyclic voltammetry

## کتروپلیمر شدن تیوفن و مشتقان تیوفن

کتروپلیمر شدن روش تهیه مناسب برای پلیمرهای از پلیمرهای است. در این روش آغازگر های پلیمر شدن (آتیون، کاتیون و رادیکال) توسط اکسایش یا کاهش روی سطح الکترود به وجود می آیند و از آن پس مراحل رشد پلیمر می تواند در محلول یا سطح الکترود ادامه یابد. تهیه الکتروشیمیایی پلیمر های آلی در مقایسه با پلیمر شدن شیمیایی روش مفیدتری برای به دست آوردن فیلمهای انعطاف پذیر این پلیمرها با کیفیت عالی است [2,21,24]. اکسایش الکتروشیمیایی مونومر، پلیمر حل ناپذیر در سطح الکترود ایجاد می کند که همراه با مقادیر مناسب آتیون است [20]. پلی تیوفن به روش الکتروشیمیایی در سال ۱۹۸۲ توسط توریون و گارنیه تهیه شد [3] که به دنبال آن بررسی های مختلف در سوراخ شرایط الکتروپلیمر شدن و همچنین خواص پلیمر حاصل توسط بسیاری از دانشمندان انجام گرفت.

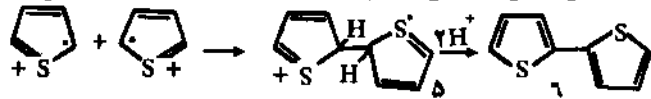
## مکانیسم الکتروپلیمر شدن تیوفن

در مورد تیوفن می توان مکانیسم زیر را برای الکتروپلیمر شدن در نظر گرفت. در اثر الکتروکسایش مونومر در سطح الکترود کاتیون رادیکال تشکیل می شود که می تواند به شکلهای رزونانسی ۲ و ۳ و ۴ وجود داشته باشد:

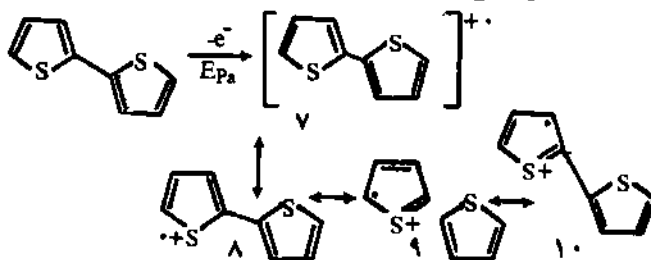


محاسبات انجام شده روی ناجور حلقه های آروماتیک پنج عضوی نشان می دهد که چگالی الکترون جفت نشده در موقعیت  $\alpha$  نسبت به ناجور اتم پیشتر از سایر موقعیتهاست [27]. بنابراین شکل مزوری ۳ اهمیت پیشتر دارد.

در اثر دی مر شدن دو کاتیون رادیکال ۳ دی مردی کاتیون ایجاد می شود که پس از حذف دو پروتون دی مرختای ۶ تبدیل می شود، اکسایش الکتروشیمیایی دی مر ۶ کاتیون رادیکال ۷ را ایجاد می کند.

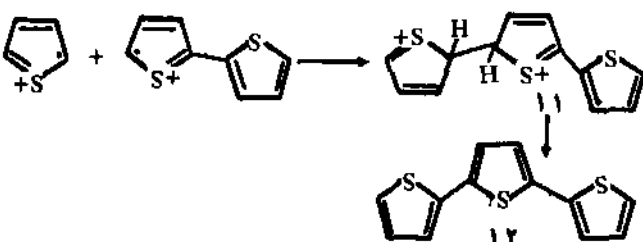


دی مر بودن دو واحد مونومری در ۶ سبب می شود که پتانسیل اکسایش ۶ نسبت به خود مونومر کاهش یابد. بنابراین، در پتانسیل اکسایش اعمال شده (E<sub>p</sub>) دی مر ۶ می تواند به آسانی اکساید شود:



کاتیون رادیکال ۷ نیز می تواند شکلهای مزوری ۸ و ۹ و ۱۰ را داشته باشد. محاسبات نشان می دهد که این بار نیز چگالی الکترون جفت نشده در موقعیتهاست، یعنی شکل مزوری ۹ اهمیت پیشتری دارد. کاتیون رادیکال ۹ می تواند با کاتیون رادیکال مونومری اضافی در سطح الکترود از موقعیتهاست  $\alpha$  و  $\beta$  جفت شود و تری مردی کاتیون ۱۱ را به وجود آورد که پس از حذف دو پروتون به تری مر ۱۲ تبدیل می شود.

ادامه واکنش الکتروپلیمر شدن می تواند به همین ترتیب روی تری مر ۱۲ صورت گیرد. با افزایش تعداد مونومرها در زنجیر پلیمر چگالی الکترون جفت نشده در موقعیتهاست  $\alpha$  و  $\beta$  تغییر می کند و به تدریج مقدار آن در موقعیت  $\beta$  افزایش می یابد. از این رو، با افزایش درجه پلیمر شدن امکان ایجاد پیوندهای  $\alpha$ - $\beta$  یا  $\beta$ - $\beta$  نیز فراهم می آید [14].



در مورد پلی تیوفن E<sub>p</sub> مونومر ۲/۰۶ ولت (در استونیتریل) و مقدار ۷۸ است [9,10].

مطالعات ولتاویری چرخه ای نشان می دهد که مونومرها به صورت برگشت ناپذیر الکتروپلیمر شوند. بدین معنی که کاتیون رادیکالهای ایجاد شده بسیار فعال اند. در شکل ۱ ولتاوگرام چرخه ای تیوفن دیده می شود. در نخستین رویش، اولین پیک آندی در ۱/۷ ولت نسبت به SCE ظاهر می شود که به اکسایش مونومر مربوط است. در موج کاتدی اولین رویش، پیک کاهش پلیمر اکسیده در ۱/۲ + ۰/۳ - ۰/۰ ولت نسبت به SCE ظاهر می گردد. در رویش بعدی، موج آندی رشد لایه پلیمری را نشان می دهد که دارای پتانسیل اکسایش پایینتری نسبت به پیک اکسایش مونومر است و در ۰/۱ + ولت نسبت به SCE ظاهر می شود. بنابراین، ولتاوگرام چرخه ای تمام خواص مربوط به یک واکنش ECE را داراست [15,16]، یعنی ترتیبی از یک انتقال الکترون (E)، سپس یک واکنش شیمیایی (C) و دوباره یک واکنش انتقال الکترون (E). از آنجاکه واکنش ایجاد فیلم را می توان جزئی از واکنشهای ECE دانست عبارت کلی  $E(C)E$  به کار برده می شود [5].

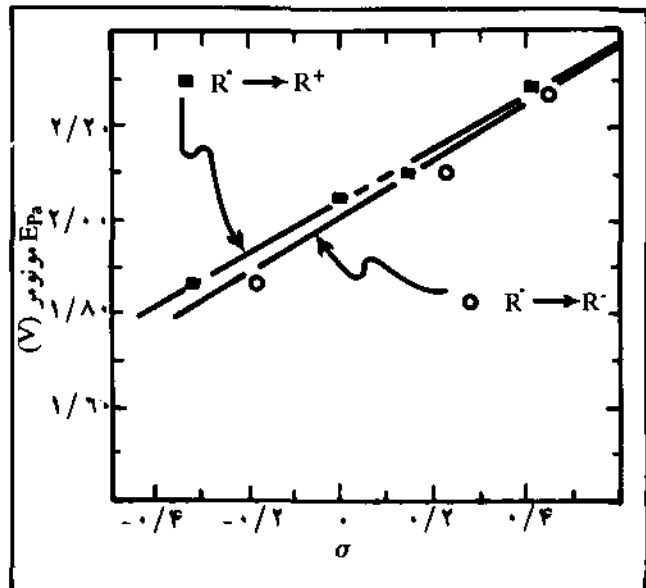
مطالعات الکتروشیمیایی فیلمهای پلی تیوفن رسانا: استخلافهای مناسب در موقعیت  $\beta$  تیوفن می تواند اثر "کشش - رانش" بر الکترونهای II داشته باشد که بدین ترتیب می تواند خصوصیات الکتروشیمیایی فیلمهای مربوط را تغییر دهد. دیاز و والمن برخی پلیمرهای مشتقات  $\beta$ -استخلافی تیوفن را مورد بررسی قرار داده اند [9]. داده های ولتاوگرام چرخه ای برای مونومرها مربوط که از تیوفن و

تیوفنهای  $\beta$ - استخلافلی به دست آمده در جدول ۱ ارائه شده است.

مقدار  $E_{P\alpha}$  در رشته تیوفنهای  $\beta$ - استخلافلی به سه عامل بستگی دارد که عبارت‌اند از: آثار قطبی، فضایی و مزومری [17]. این رفتار را می‌توان توسط معادله هامت و تافت بیان کرد:

$$E = \rho_{ij} \sigma^{+i} + S$$

که در آن  $\rho_{ij}$  میان‌کننده آثار قطبی - مزومری است و  $(S)$  آثار فضایی را توصیف می‌کند. بنابراین، هرگاه پتانسیل پیک اکسایش  $E_{P\alpha}$  مونومرهای تیوفن و مشتقات آن نسبت به ثابت هامت استخلافلها رسم شود، یک ارتباط خطی به دست می‌آید (شکل ۲).

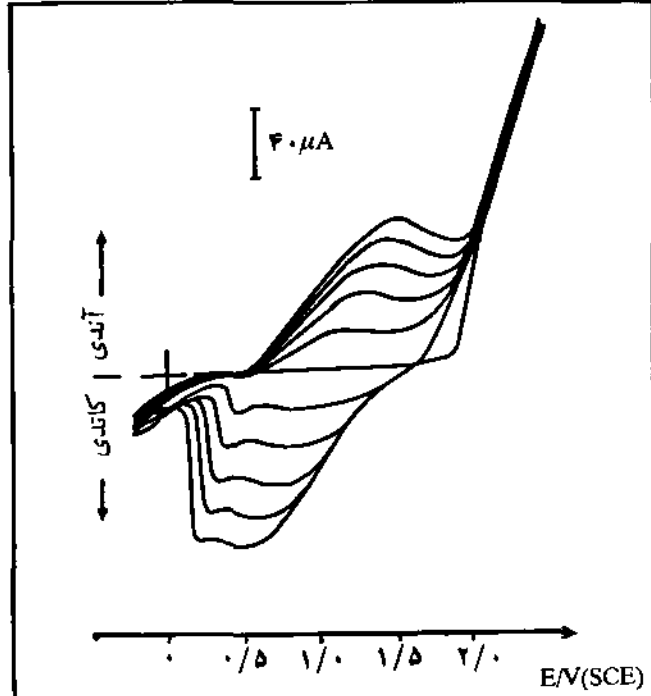


شکل ۲- اکسایش الکتروشیمیایی مونومرهای  $\beta$ - استخلافلی تیوفن که در آن از چپ به راست  $\beta = \text{Me, H, Br, COOH}$  است.

ثابت‌های هامت مورد استفاده در این قسمت،  $\sigma^{+i}$  برای استخلافلها پارا در واکنش  $R^{\bullet} \rightarrow R^+$  است [18]. همچنین رسم  $\sigma^d$  برای استخلافلها پارا در واکنش  $R^{\bullet} \rightarrow R^-$  نیز یک ارتباط خطی به دست می‌دهد. رسم  $E_{P\alpha}$  مونومر نسبت به  $E_{P\alpha}$  پلیمرهای مربوط (شکل ۳) یک ارتباط خطی باشیب  $64/0$  را نشان می‌دهد. بنابراین، مشخص می‌شود که آثار استخلافلها مُفرم در اساس بر مونومر و پلیمر مشابه است ولی مقدار این اثر بر پلیمر دو برابر است [9].

از شکلهای ۲ و ۳ چنین نتیجه می‌شود که مونومرهای  $\beta$ - استخلافلی تیوفن و پلیمرهای مربوط باید دارای سیستم الکترونی  $\Pi$  مشابه باشند. این نتیجه را می‌توان مربوط به پیوندهای  $\alpha$ - واحدهای مونومری در پلیمر دانست [19].

فیلمهای پلی تیوفن بر ساندگی بالادر سال ۱۹۸۳ کاتتو و همکارانش طی مقاله‌ای سنتر پلی تیوفنهای با خواص فلزی را گزارش کردند [20]. شرایط الکتروپلیمر شدن و نتایج حاصل از اندازه‌گیری رساندگی فیلمهای پلی تیوفن در جدول ۲ ارائه شده است.



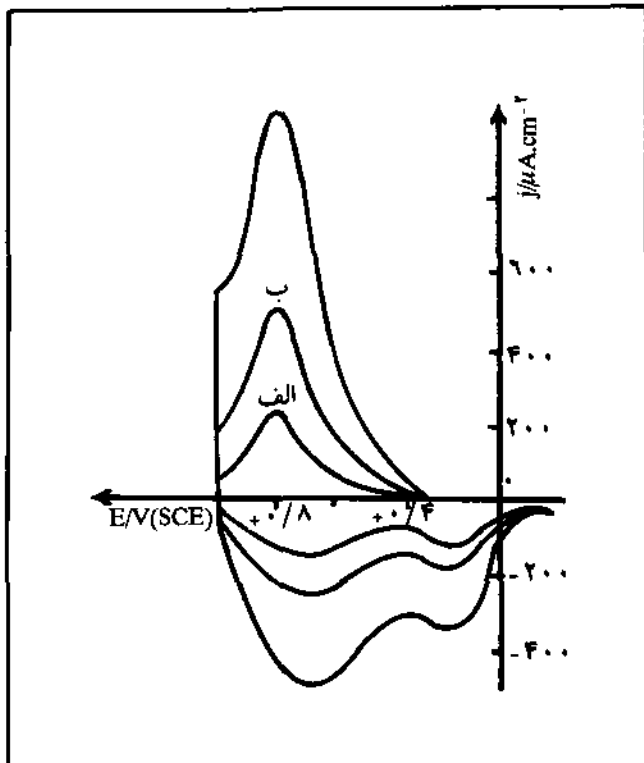
شکل ۱- ولتاوگرام چرخه‌ای الکتروپلیمر شدن تیوفن، سرعت روش  $100 \text{ mV/s}$ ، غلظت مونومر  $2 \times 10^{-2}$  مول و  $2 \times 10^{-2}$  مول  $\text{Bu}_4\text{NPF}_6$  در نیترو بنزن است.

جدول ۱- داده‌های ولتاوگرام چرخه‌ای برای  $10^{-5}$  -  $10^{-3}$  مول تیوفن در  $1/0$  مول  $\text{CH}_3\text{CN}/\text{TEAFB}$

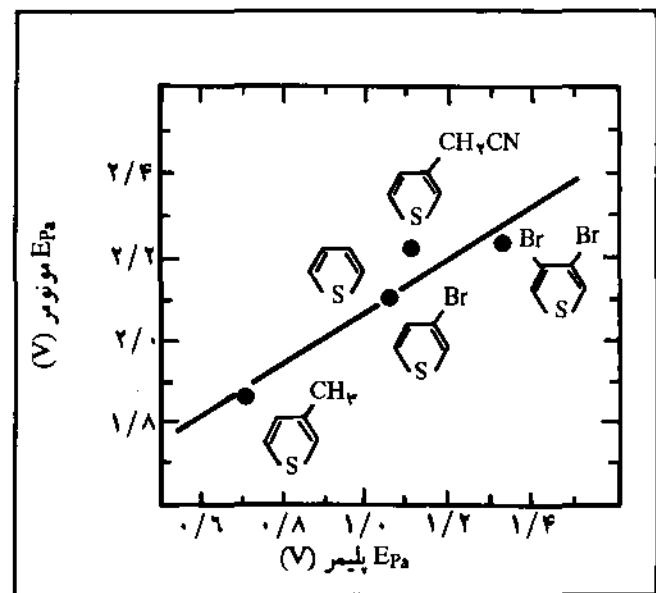
$E_{P\alpha}, \text{V/SCE}$	ترکیب		
	پلیمر	مونومر	
۰/۹۶		۲/۰۶	تیوفن
۱/۰۰		۱/۳۲	۲-۲-بی تیوفن
	۰/۷۲	۱/۶۹، ۲/۲۵	۲-(۳-متیل) پیریدین
	۱/۰۶	۱/۸۰	۳-متیل تیوفن
	۱/۱۲	۱/۹۴	۳-تیوفن استیک اسید
	۱/۲۲	۲/۰۲	۳-تیوفن مالونیک اسید
	۱/۲۲	۲/۱۰	۳-بروموتیوفن
	۱/۲۲	۲/۲۲	۳-تیوفن استونیتریل
	۱/۲۲	۲/۲۲	۳-دی بروموتیوفن
	۱/۲۸	۲/۲۸	۳-تیوفن کربوکسیلیک
	۲/۲۵	۲/۲۵	۳-تیوفن کربوکسالدیئد

عنصری پلی تیوفن نادویه شده فرمول ساده  $C_{47.2} H_{7.9} S_{11.0}$  را به دست می‌دهد که نشان دهنده درجه پلیمر شدن قابل ملاحظه‌ای می‌باشد. فیلم نادویه شده در هوای دمای  $200^{\circ}C$  و در بسیاری از حللاها پایدار است. ولی، فیلم پلی تیوفن اکسیده در هوای حللاهای پروتون دار تغیر آب و متانول ناپایدار است.

الکترو پلیمر شدن  $\beta$ -متیل تیوفن: ولتاژگرام چرخه‌ای فیلم پلی ( $\beta$ -متیل تیوفن) در محیط  $CH_3CN-LiClO_4$  با سرعت روش  $50\text{ mV/s}$  در شکل ۴ نشان داده شده است [22].



شکل ۴- منحنی جریان - پتانسیل (i-E) فیلم پلی  $\beta$ - متیل تیوفن:  
الف)، (ب) (، ۱۰۰  $\text{mV/s}$ ، ۵۰  $\text{mV/s}$  (رج).

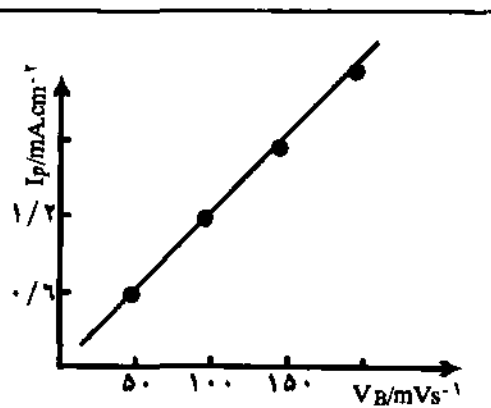


شکل ۲- پتانسیلهای یک اکسایش مونومرها نسبت به پتانسیل پیک اکسایش پلیمرها

جدول ۲- شرایط الکتروولتی پلیمر شدن تیوفن و خواص الکتریکی فیلم حاصل

Ea meV	$\sigma$ (S/cm)	Voc (V)	I (پلیمر شدن) (mA/cm²)	V (اعمال) (شدده)	الکتروولت
۲۹	۲۰	۴/۱	۱۰	۱۰	LiBF₄-MeCN
۲۳	۱۰۶	۴/۲	۱۰	۲۰	LiBF₄-PhCN
۱۹	۹۷	۲/۶	۲۰	۲۰	NaAsF₄-PhCN
۲۱	۵۵	۲/۷	۲۰	۲۰	NaPF₄-PhCN

در روش آنها، شیشه رسانای اکسید In-Sn و صفحه پلاتین به ترتیب به عنوان آند و کاتد به کار رفته است. در جدول ۲ (اعمال شده) و (پلیمر شدن) I، به ترتیب ولتاژ و جریان معمولی پلیمر شدن است و ولتاژ  $V_{oc}$  مدار باز اندازه گیری شده بلافاصله پس از قطع پتانسیل اعمال شده می‌باشد.  $V_{oc}$  می‌تواند پتانسیل یک باتری با طرح مشابه قلمداد شود. اعمال ولتاژ ۲۰ ولت به الکتروولتی که دارای تیوفن ( $4\text{ mol cm}^{-3}$ ) و  $LiBF_4$  ( $5\text{ mol cm}^{-3}$ ) در نیترو بنزن در  $20^{\circ}C$  است فیلمی همگن و ظرفی با رسانندگی بیش از  $100\text{ S/cm}$  و ارزی فعالسازی  $23\text{ meV}$  ایجاد می‌کند، می‌شود. این نتیجه برخلاف نتایج حاصل از اعمال ولتاژهای پایین است [21]. فیلم به دست آمده در این الکتروولت دارای  $30\%$  مولی  $BF_4^-$  به ازای هر مولکول تیوفن است که از اختلاف وزن فیلم قبل و بعد از نادویه شدن (undoping) با بخار آمونیاک به دست آمده است. تعزیزه



شکل ۵- ارتباط خطی بین جریان پیک (I\_P) و سرعت روش (V\_B)

### جدول ۳ - تغییرات پتانسیل پیک آندی و ماکسیم جذب PMeT به صورت تابعی از ضخامت

$A_{max}$ mm	$E_{Pd}$ V vs. S.C.E.	ضخامت $A^\circ$	$Q_s$ $mC cm^{-2}$
•	٠/٥٠٠	٥٠	٢/٥
٥٣٠	٠/٥١٠	١٠٠	٥
٥٢٤	٠/٥٢٠	٢٠٠	١٠
٥٢٠	٠/٥٣٠	٥٠٠	٢٥-
٥١٦	٠/٥٧٠	١٠٠٠	٥٠
٥١٠	٠/٥٩٠	٢٠٠٠	١٠٠

(الف) پیک آندی پتانسیل  $٥٠ mV$  در  $١M LiClO_4$  در استو نتریل

(ب) نادویه شدن الکتروشیمیایی فیلمها روی  $ITO$

از جدول ۳ پیداست که در اثر کاهش ضخامت فیلم از  $٢٠٠٠$  به  $١٠٠ A^\circ$  پتانسیل پیک آندی ( $E_{Pd}$ ) به اندازه  $١٠٠$  میلی ولت به سمت مقادیر کمتر آندی جایه جایی شود. این جایه جایی پتانسیل پیک اکسایش به سمت مقادیر کمتر مثبت در توافق با افزایش طول قسمت مزدوج است [26-28]. با توجه به طیف جذبی فیلمهای نادویه شده مشخص می‌شود که کاهش ضخامت فیلم از  $٢٠٠٠$  به  $١٠٠ A^\circ$  باعث جایه جایی باتوکرومیک (Batho Chromic) (به اندازه  $٢٠ nm$ ) در ماکسیم جذب می‌شود (جدول ۳). نتیجه گیری می‌شود که تعداد پیوندهای مزدوجی که در طی الکتروپلیمر شدن حاصل می‌شود به سرعت با افزایش رشد زنجیرهای پلیمری کاهش می‌باشد. بدین ترتیب می‌توان انتظار داشت که فیلمهای بسیار نازک بسیار رساناًتر باشند. ولی، فیلمهای بسیار نازک  $٢٠٠٠$  تا  $١٥٠ A^\circ$  این عیب را دارند که کارکردن روی آنها دشوار است [25].

الکتروپلیمر شدن ۳ - برموتیوفن: کاربردهای متعدد و فرایندی پلیمرهای رساناً، ضرورت تولید پلیمرهایی با خواص الکترونی و الکتروشیمیایی تازه را ایجاد می‌کند. یکی از روش‌های رسیدن به این هدف اصلاح شیمیایی یک پلیمر دارای گروه ترک کننده است. پلی (۳ - برموتیوفن)،

PBT، می‌تواند یک ماده استانداری برای این منظور باشد [29].  
الکتروپلیمر شدن ۴ - برموتیوفن (BrT) برای نخستین بار توسط والتمن و همکارانش [30] بررسی شد و نتایج حاکی از این است که پلیمر شدن به سختی انجام می‌گیرد و همراه با تولید مقادیر زیادی ترکیبات حل پذیر می‌باشد. به دلیل این خاصیت نامطلوب، پلیمر یاد شده مورد توجه زیادی قرار نگرفته و هیچ بررسی دقیقی روی خواص الکتروشیمیایی طیف بینی و الکتریکی این پلیمر گزارش نشده است.

با توجه به پیشرفت‌های زیادی که به تازگی در زمینه الکتروپلیمر شدن مشتقات تیوفن صورت گرفته است [25] الکتروپلیمر شدن BrT به

شکل ۴ نشان می‌دهد که پلیمر می‌تواند به طور متواലی اکسایش و کاهش یابد و همچنین جریان ماکسیم پیک به صورت خطی با سرعت روبش ( $V_B$ ) تغییر می‌کند (شکل ۵) که یکی از خواص گونه‌های الکترو فعال جذب شده به سطح الکترود می‌باشد.

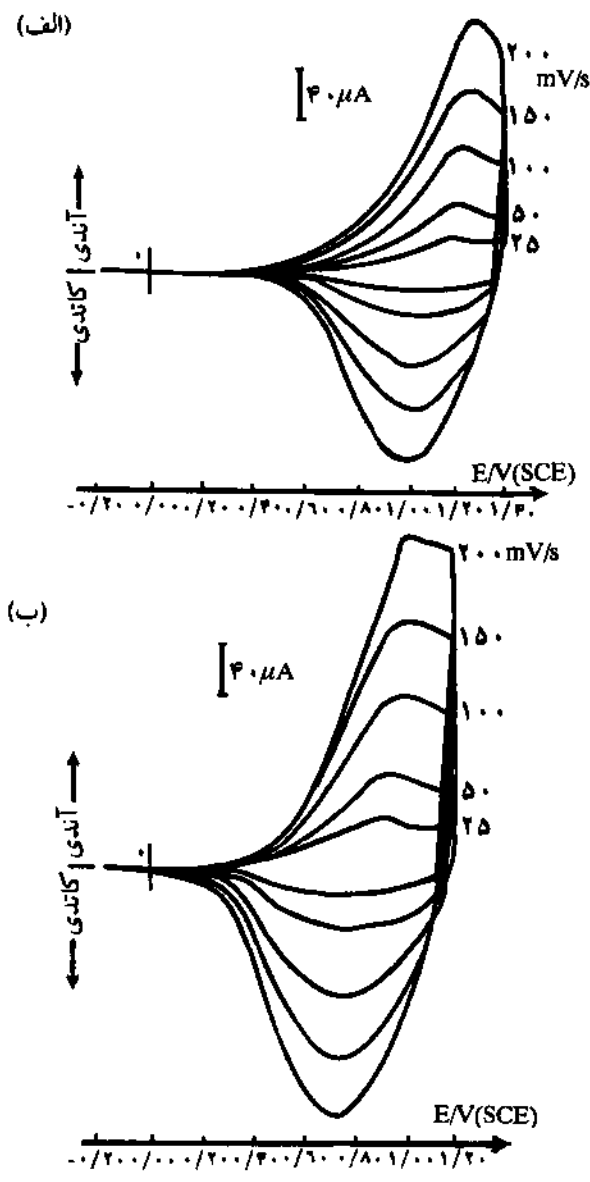
در شکل ۴ دیده می‌شود که کاهش یا نادویه شدن پلیمر خیلی پیچیده‌تر بوده و پیک آن از  $٨٠ mV$  تا  $١٠٠ mV$  (V/SCE) گسترده شده است. این پیک دارای دو ماکسیم یکی در  $٧٥ mV$  و دیگری در  $٣٠ mV$  (V/SCE) می‌باشد که هر یک متراوف با حالت‌های پایداری است که پلیمر در اثر نادویه شدن جزوی به خود می‌گیرد. این اثر توسط مطالعات طیف (X-Ray Photoemission XPS)، و طیف مرئی پلیمر بررسی شده است. چنین حالتی در پلی استیلن، پلی پیروف و پلی آتیلن نیز مشاهده می‌شود. این اثر به طور عمده مربوط به فرایند سازمان یابی مجدد زنجیرهای پلیمر است که همراه با خروج آنیون و حرکت آن به سمت الکتروولیت می‌باشد [23]. حلال الکتروولیت یکی از عوامل تعیین کننده ویژگیهای الکتروشیمیایی پلیمر در ارتباط با قطبیت و خاصیت متورم کنندگی حلال است. به عنوان مثال، تغییر حلال استو نتریل با گلیکول که گرانزوی آن خیلی بیشتر است، باعث تغییر منحنی ( $V=f$ ) می‌شود. به ترتیب که پیک اکسایش به سمت پتانسیلهای مثبت تر جایه جای شده و بسیار پهتر می‌شود. در آب نتایج حیرت‌انگیزی به دست می‌آید، بدین ترتیب که فیلم می‌تواند اکسایش یا کاهش یابد و در حالی که پیک اکسایش از لحظه ازرسی و شدت ثابت باقی می‌ماند، یک کاهش تنها یک ماکسیم نشان می‌دهد و یک رنگ قهوه‌ای بین حالت دویه شده آبی و نادویه شده قرمز ظاهر می‌گردد. ساختار اسفنجه شکل الیاف فیلم می‌تواند توجیهی برای متورم شدن در محیط آبی باشد [22].

فیلمهای پلی ( $\beta$ - متیل تیوفن) با رسانندگی بالازرونکالی و گارنیه در سال ۱۹۸۸ مطالعاتی روی فیلمهای بسیار رسانای پلی ( $\beta$ - متیل تیوفن)، PMeT، به انجام رسانند [25]. در حالت کلی بدون در نظر گرفتن اصلاحات مؤثر بر ساختار مولکولی پلیمر و در فیلمهای با ضخامت چند میکرومتر خواص الکتروشیمیایی فیلمهای رساناً که به روش الکتروشیمیایی تهیه می‌شوند، نظیر پلی تیوفن و پلی پیروف، بستگی به ضخامت فیلم پلیمر دارد.

رونکالی و گارنیه فیلم PMeT را در یک سلوول دارای مونومر و  $NPF_6Bu^+$  در نیترو بتزن تهیه کرده‌اند. محلول با جایهای آرگون اکسیژن زدایی می‌شود و در شرایط گالوانوایستاتیک در دمای معمولی و زیر اتمسفر آرگون پلیمر شدن صورت می‌گیرد. آن‌به کار رفته الکترود شفاف اکسید ITO (یا یک صفحه پلاستیک به مساحت  $8cm^2$  است و از ورق آلومینیم یا الکترود ITO به عنوان کاتد استفاده می‌شود.

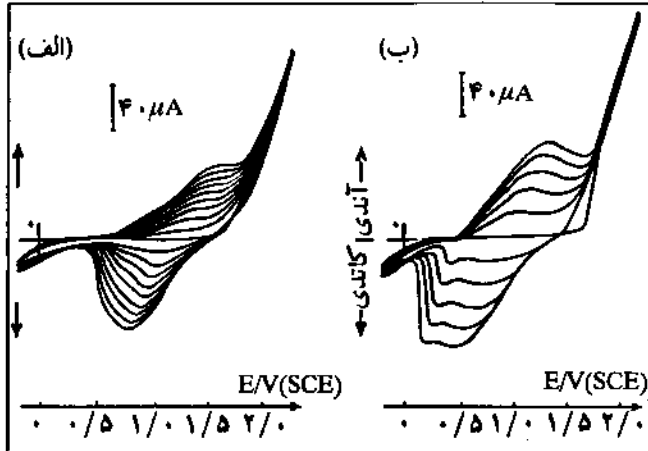
جدول ۲ داده‌های الکتروشیمیایی و طیف نگاری مربوط به فیلم PMeT را در ضخامت‌های مختلف روی الکترود ITO نشان می‌دهد.

صورت زیر تفسیر می‌شود: پتانسیل اکسایش  $\text{BrT}$  که توسط ولتاوی چرخه‌ای به دست آمده است برابر  $207 \text{ mV/SCE}$  است. برخلاف نخستین الکتروپلیمر شدن  $\text{BrT}$  که در استونیتریل صورت گرفته است [30] این بار واکنش در نیتروبیزن انجام می‌گیرد، زیرا نتایج بهتری را دربر دارد [25,31]. شکل ۶ و لتاوموگرام چرخه‌ای متواالی مربوط به الکتروپلیمر شدن  $\text{BrT}$  را در نیتروبیزن و در الکتروولیت حامل  $\text{Bu}_4\text{NPF}_6$  نشان می‌دهد.



شکل ۷- ولتاوموگرامهای چرخه‌ای در سرعتهای رویش مختلف در  $10^{-1}$  مول در لیتر  $\text{CH}_3\text{CN}$  در  $\text{LiClO}_4$ :  
الف) پلی-۲-برموتیوفن و ب) پلی-تیوفن.

الکتروپلیمر شدن تیوفن در محیط اسیدی: تاکتون الکتروپلیمر شدن تیوفن به طور عمده در محیطهای آلی مورد بررسی قرار گرفته و مطالعه آن در محیطهای آبی [32-35] کمتر مورد توجه بوده است. با این همه، بررسیهای توسط دانشمندان چینی در اسیدهای فسفریک، پرکلریک و سولفوریک صورت گرفته است [32,33,36]. مهمترین عامل محدود کننده الکتروپلیمر شدن در محیطهای آبی پتانسیل اکسایش پایین آب است.

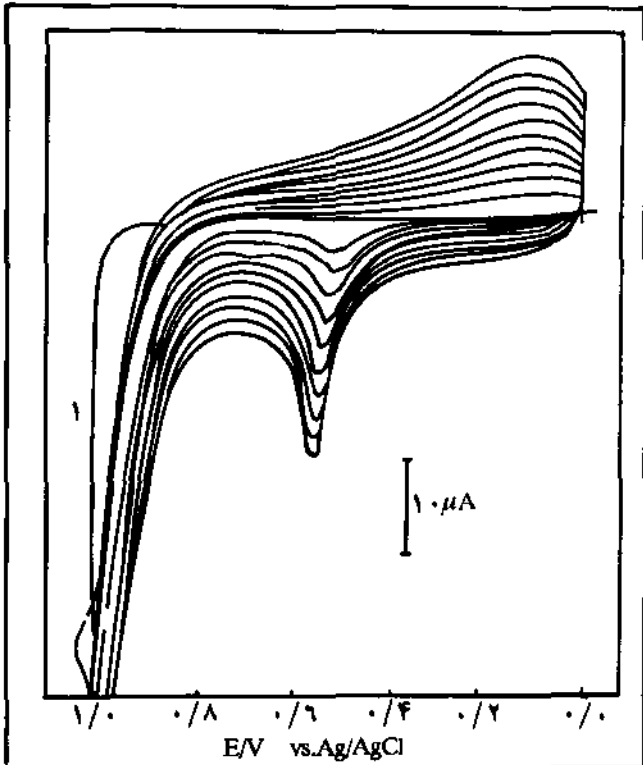


شکل ۶- ولتاوموگرامهای چرخه‌ای متواالی: الکتروپلیمر شدن برموتیوفن (الف) و تیوفن (ب) در سرعت رویش  $2 \times 10^{-1}$ ،  $100 \text{ mV/s}$  مول مونومر و  $2 \times 10^{-2}$  مول  $\text{Bu}_4\text{NPF}_6$  در نیتروبیزن

اگرچه این منحنیهای الکتروپلیمر شدن نشان می‌دهند که ترمیب پلیمر به صورت یکواخت انجام می‌گیرد، ولی مقایسه آنها (شکل ۶ الف و ب) به روشنی نشان می‌دهد که پلیمر شدن  $\text{BrT}$  خیلی کندر از تیوفن است. این کندری پلیمر شدن می‌تواند از ساختار  $\text{PBrT}$  نشأت گیرد که منجر به کاهش انتقال بار در طی ترسیب فیلم می‌شود. ساختار  $\text{PBrT}$  پیوندهای دوگانه مزدوج کستری دارد.

شکل ۷ الف، ولتاوموگرام چرخه‌ای  $\text{PBrT}$  را در سرعتهای رویش متفاوت نشان می‌دهد که از لحاظ شکل ظاهری مشابه ولتاوموگرام  $\text{PT}$  (شکل ۷ ب) است. شدت جریان پیکها به صورت خطی با سرعت رویش افزایش می‌یابد که ویژگی گونه‌های جذب شده به سطح الکترون می‌باشد. تفاوت اصلی بین  $\text{PT}$  و  $\text{PBrT}$  جایه جایی پیک آندی به اندازه  $200 \text{ mV}$  است. این پتانسیل اکسایش بالا در تواافق با اثر الکترون کشندگی برم بر چگالی الکترونی بحلقه تیوفنی است [30]، با این همه در مورد مونومرها اختلاف بین پیک اکسایش  $\text{T}$  و  $\text{BrT}$  تنها  $30 \text{ mV}$  است. این اختلاف زیاد بین مونومر و پلیمر نشان می‌دهد که علاوه بر اثر الکترونی اتم برم یک اثر فضایی نیز اعمال می‌کند که زاویه پیچشی بین واحدهای مونومر ایجاد می‌کند و در نتیجه تعداد پیوندهای دوگانه مزدوج را کاهش می‌دهد و در کل باعث افزایش پتانسیل اکسایش می‌شود [30].

هنگامی که تیوفن با محلول  $\text{H}_3\text{PO}_4$  ۸۵٪ (۱۴/VM) در آب مخلوط شود و محلول حاصل به مدت ۲۴ ساعت به حال خود باقی بماند به تدریج زرد رنگ می‌شود. طیف UV این محلول نیز نشان می‌دهد که به طور عمده دارای  $\alpha - \text{تریوفن}$  (۳۵۰ nm) و  $\alpha - \text{تریوفن}$  (۴۰۰ nm) است. به علاوه پیک مونومر تیوفن (۲۲۰ nm) در طیف ظاهر نمی‌شود. اگر از  $\text{H}_3\text{PO}_4$  به غلظت M/۹ استفاده شود، پیک ۴۰۰ nm حتی پس از گذشت یک هفته نیز ظاهر نمی‌شود [37]. این محلول زرد رنگ برای الکتروپلیمر شدن مورد استفاده قرار می‌گیرد. پتانسیل ثابت تیجه فیلم PT روی الکترود کار تشکیل می‌گردد. شکل ۸ ولتاوگرام چرخه‌ای الکتروپلیمر شدن را نشان می‌دهد.



شکل ۸. ولتاوگرام چرخه‌ای در طی الکتروپلیمر شدن تیوفن با سرعت روبش ۲۰ mV/S

پیک ۵۳۷ / ۰ مربوط به اکسایش پلیمر است که در نخستین روبش وجود ندارد. همچنین در موج کاتدی تنها یک پیک برای پلیمر ظاهر می‌شود، در حالی که در محیط غیر آبی دو پیک کاتدی برای PT وجود دارد [38]. این اثر می‌تواند مربوط به خاصیت متفاوت متورم کنندگی آب و محیط غیر آبی باشد [39].

در مقایسه با حللهای غیر آبی، دیده می‌شود که پتانسیلهای اکسایش - کاهش به سمت مقادیر منفی تر جایه جا شده‌اند. به علاوه،

افزایش پتانسیل یک آندی با زیاد شدن تعداد روبش، که به سبب افزایش مقاومت فیلم رشد یافه است، نیز مشاهده می‌شود [37].

### پروپیهای طیف تکاری در حین رشد زنجیر تیوفنها

یک مجموعه‌ای از تکیکهای اسپکتروکتروشیمیایی برای ارائه تصویری از تحولات مولکولی که در حین ایجاد فیلم اتفاق می‌افتد به کاربرده می‌شود. استفاده از این تکیکها اطلاعات زیادی به ویژه در مورد دینامیک رشد و تغیرات آن در اختیار قرار می‌دهد. با وجود این، هنوز بیشتر پیچیدگیهای مولکولی مبهم مانده است. تغیرات حاصل در پیوندها در فیلم اکسیده نسبت به کاهیده هنوز به طور کامل بررسی نشده است و بعثهای زیادی در مورد ماهیت تکرار پذیری و پایداری فیلم وجود دارد [40].

دو روش برای مطالعات طیف نگاری در حین الکتروپلیمر شدن

وجود دارد:

روش بازتابش کل تضعیف شده: در روش بازتابش کل تضعیف شده، ATR (Attenuated Total Reflection)، از یک پیکربندی نوری استفاده می‌شود که در آن پرتو IR از میان یک بلور شفاف عبور می‌کند و دچار بازتابش درونی چندگانه می‌گردد. در هر بازتابش یک موج میرا (Evanescent) به درون محلول نفوذ می‌کند که برای بررسی منطقه نزدیک الکترود به کار می‌رود. عمق نفوذ بستگی به طول موج ارتعاشهای IR دارد. الکترود به کار رفته می‌تواند یک منشور ساده (زرمانیم) بوده یا دارای یک پوشش نازک فلزی باشد. ضخامت این لایه به گونه‌ای است که هم رسانایی الکتریکی را برقرار می‌کند و هم امکان نفوذ موج "میرا" را به درون محلول فراهم می‌سازد [41].

روش بیوپک و پوزر: این روش شامل یک پیل اسپکتروکتروشیمیایی لایه نازک است که در برگیرنده بازتابش ویژه از یک الکترود فلزی و از میان یک لایه نازک الکتروولیت می‌شود [42]. مزیت روش ATR این است که تضعیف پرتو IR بسیار اندک است و اطلاعات را می‌توان از روبشهای منفرد متواتی، جمع‌آوری کرد. ولی، این روش معایی نیز دارد. بدین معنی که عمق نمونه برداری بستگی به سرعت تضعیف پرتو دارد که به صورت جذری با رشد فیلم تغییر می‌کند، علاوه بر این تعداد زیادی واکنش وجود دارد که نمی‌تواند روى ژرمانیم بر همه انجام گیرد. همچنین نشاندن یک لایه یکنواخت از فلزی مثل طلا به همیچ وجه آسان نیست و به ویژه با ضخامتی که اجازه نفوذ موج میرا را فراهم می‌سازد (۳nm).

روش Raman ATR مزیت "قاعده انتخاب سطح" (surface selection rule) [42] را ندارد. بدین معنی که در تعیین جهتگیری گونه‌ها در سطح ظلز ناتوان است و از این رو نمی‌تواند در مورد تیوفن مونومری قبل از پلیمر شدن اطلاعاتی ارائه دهد.

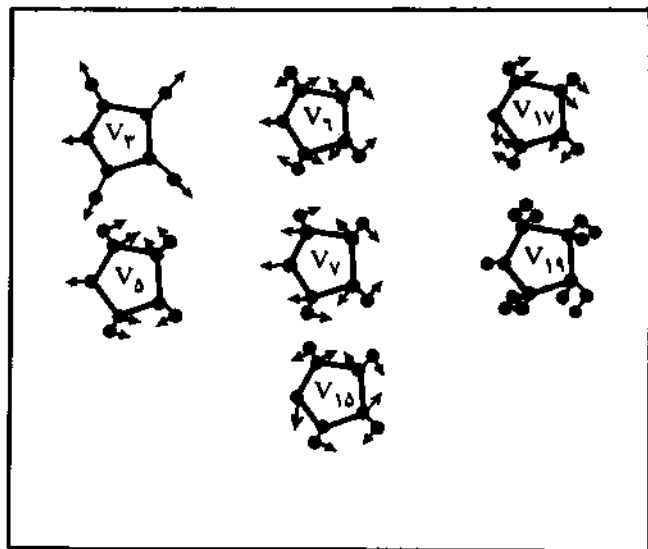
جذب مونومر تیوفن: برای بررسی چگونگی جذب مونومر

است. مشاهده می شود که در این شرایط تنها مدها سطح است. این نتیجه جالب تعیین جهتگیری مولکول تیوفن را نسبت به سطح الکترود ممکن می سازد.

جدول ۴- تخصیص پیکها در ناحیه تغییر شکل حلقه

$\nu/\text{cm}^{-1}$	$\nu/\text{cm}^{-1}$	تقارن	مد
۱۴۰۶	۱۴۰۴	A <sub>1</sub>	V <sub>۵</sub>
۱۲۵۰	۱۲۵۰	B <sub>1</sub>	V <sub>۱۵</sub>
۱۰۸۰	۱۰۸۱	A <sub>1</sub>	V <sub>۱</sub>
۱۰۳۴	۱۰۳۴	A <sub>1</sub>	V <sub>۷</sub>
۸۷۰	۸۷۰	B <sub>1</sub>	V <sub>۱۷</sub>
۸۳۴	۸۳۴	A <sub>1</sub>	V <sub>۳</sub>
۷۱۴	۷۱۲	B <sub>2</sub>	V <sub>۱۹</sub>

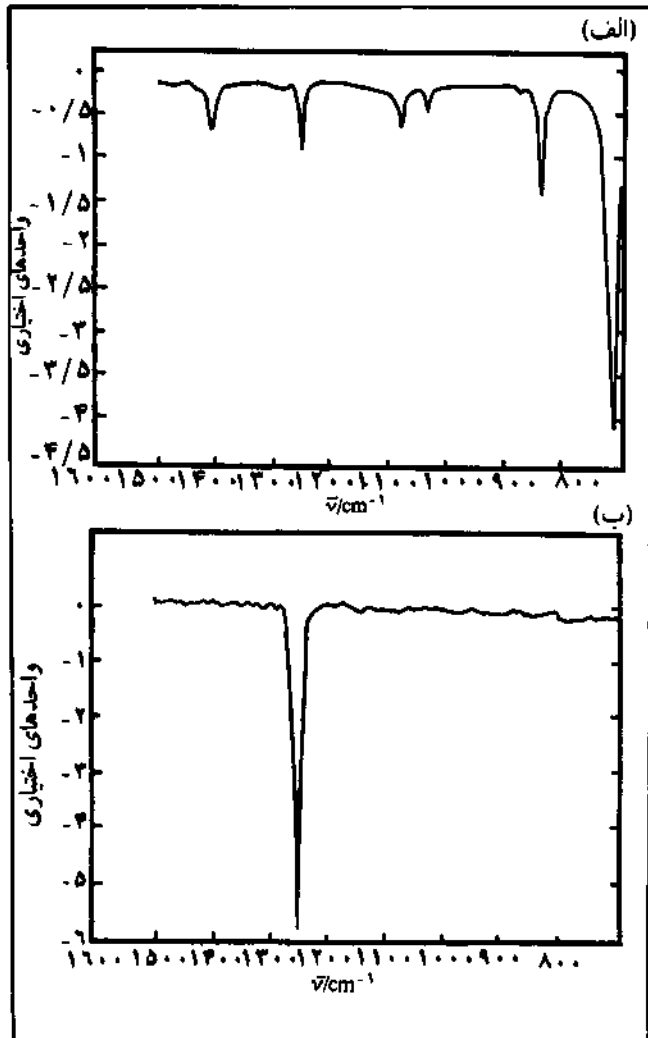
(الف) نتایج مؤلفان، (ب) کمیت اندازه گیری شده به هنگام نشکل فیلم پلیر.



شکل ۱۰- مدهای نرمال ارتعاشهای تیوفن

این بدیده به نام "قاعده انتخاب سطح" خوانده می شود. بازتابش یک پرتو نور از سطحی به شدت جذب کننده نظری یک فر باعث تغییرات بردار الکتریکی پرتو ورودی، که موازی سطح است، به اندازه  $180^\circ$  می شود. بنابراین، مقدار خالص این بردار در نزدیکی سطح تقریباً صفر است، از این رو مولکولهای جذب شده به سطح نمی توانند برانگیخته شوند، مدهای  $2\alpha_1$  مولکول تیوفن، که دارای تقارن C<sub>2v</sub> است، می توانند توسط بردار الکتریکی موازی محور Z (یعنی محور درجه ۲ مولکول) وجود داشته باشند، در حالی که مدهای  $\alpha_1$  می توانند با محور الکتریکی عمود

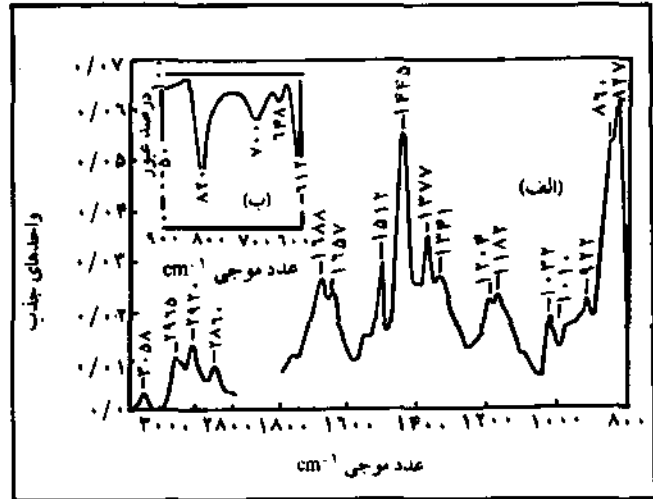
تیوفن قبل از پلیر شدن به سطح الکترود با استفاده از "قاعده انتخاب سطح"، روش بیویک و پونز به کار گرفته شده است [43]. طیف IR مونومر تیوفن بین تیغه های NaCl در شکل ۹ دیده می شود و تخصیص (Assignment) پیکها در ناحیه تغییر شکل حلقه در جدول ۴ داده شده است. همچنین مدهای (mode) نرمال واقعی مربوط به تخصیص پیکها در شکل ۱۰ نشان داده شده است که مطابق با کارهای هیداگو و ریکو [44,45] می باشد.



شکل ۹- طیف نشری تیوفن بین تیغه های NaCl (الف)، طیف بازتابش ۱۰ مول تیوفن در  $\text{CH}_3\text{CN}$  در نزدیکی سطح الکترود (ب)

به روشنی دیده می شود که سه مده از چهار مده موجود در ناحیه  $1100$  تا  $1500 \text{ cm}^{-1}$  مربوط به حرکت گوگرد به سمت پایین است. این مدها محور C<sub>2</sub> را حفظ می کند، در حالی که محورهای نرمال مدهای  $1250 \text{ cm}^{-1}$  به طور مؤثری این عنصر تقارن را از میان می برد. طیف موجود در شکل ۹ ب، به صورت "درجا" پس از افزایش تیوفن به الکرولیت و پس از جذب کامل مونومر به سطح الکترود پلاتین تهیه شده

در ناحیه  $900 - 600 \text{ cm}^{-1}$  نشان داده شده است که علت گرفتن طیف عبوری این است که ژرمائیم در زیر  $800 \text{ cm}^{-1}$  جذب شدید دارد. برخی از جذبهای پلیمر خنثی (شکل ۱۲) در همان موقعیت جذبهای مونومر  $\beta$ -متیل تیوفن [۴۵] باقی ماند، ولی تخصیص هریک از ارتعاشات پلیمر تاکتون غیر ممکن بوده است [۴۶].



شکل ۱۲ - طیف زیر قرمز پلی (۳- متیل تیوفن) خنثی:  
الف) طیف ATR-FTIR؛ ب) طیف نشری بین تیغه‌های KBr

### نتیجه‌گیری

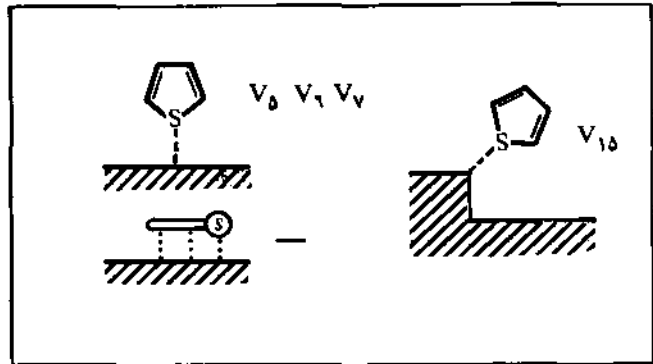
همان طور که اشاره شد مکانیسم الکتروپلیمر شدن تیوفن و برخی مشتقات آن، با اکسایش مونومر و ایجاد کاتیون رادیکال اولیه آغاز می‌گردد. مطالعات استوکیومتری واکنش نشان می‌دهد که دو الکترون به ازای هر واحد مونومر در زنجیر توسط الکترود گرفته می‌شود.

استخلافهای موجود در موقعیت ۳ نسبت به ناجور اتم می‌توانند تا حدود زیادی خواص مکانیکی و الکتروشیمیایی پلیمر را تحت تأثیر قرار دهند. استخلافها همچنین با تغییر پایداری کاتیون رادیکال اولیه قادرند رشد زنجیر پلیمر را کنترل کنند. به عنوان مثال، نشان داده شد که وجود استخلاف متیل در موقعیت ۳ ناجور اتم در مونومر تیوفن پتانسیل اکسایش مونومر را نسبت به تیوفن کاهش می‌دهد. همچنین رسانندگی پلی (۳-۲-متیل تیوفن) در مواردی حدود ۱۰۰ برابر رسانندگی پلی تیوفن به دست می‌آید. حالت اخیر احتمالاً به سبب افزایش نظم زنجیر در اثر ورود یک استخلاف در موقعیت ۳ است.

در بی‌رسیدن به پلیمرهایی با خواص دلخواه یکی از روشهای پیشنهادی، وارد یا جایگزین کردن گروههای استخلافی مناسب پس از پلیمر شدن است. مونومر ۳-برموتیوفن که حامل یک گروه ترک کننده خوب در موقعیت ۳ است یک مونومر استثنایی برای این منظور است. ولی، با توجه به شواهد موجود تهیه پلی (۳-برموتیوفن) به دشواری ممکن می‌شود.

بر محور درجه ۲، که به صفحه مولکول وارد شده است وجود داشته باشد. بنابراین، تیوفن باید طوری به سطح الکترود جذب شود که محور درجه ۲ آن موازی یا تقریباً موازی سطح الکترود قرار گیرد.

در شکل ۱۱ محتملترین حالت‌های فیزیکی جذب تیوفن به سطح الکترود نشان داده است که می‌تواند از طریق سیستم II، اوریتالهای گوگرد روی محلهای پلهای شکل سطح انجام گیرد. با کاربرد قاعده انتخاب سطح معلوم می‌شود که کدامیک از چهار مد موجود در ناحیه  $1100 - 1500 \text{ cm}^{-1}$  می‌تواند فعال باشد که در شکل مشخص شده‌اند.



شکل ۱۱ - محتملترین حالت‌های فیزیکی جذب تیوفن روی الکترود پلاتین صیقل داده شده

این نتیجه زیاد هم تعجب آور نیست، زیرا اولاً این محلها و ثانياً این نقصها به احتمال زیاد در اثر صیقل دادن مکانیکی الکترود به مقدار زیاد در سطح الکترود ایجاد می‌شوند.

بررسی طیف نگاری فیلم پلی (۳- متیل تیوفن)، PMeT، که برای مطالعه طیف نگاری فیلم PMeT مورد استفاده قرار گرفته است همان روش ART می‌باشد. الکترود به کار رفته در این بررسی یک بلور ژرمائیم است که لایه نازکی از طلا روی آن ترسیب شده است و الکترود مرجع الکترود کالومل اشیاع (SCE) در یک حلال آبی است که هر دو در ظرف حاوی الکتروولیت قرار دارند.

پلیمر شدن در ظرف حاوی  $4 / ۰$  مول  $\beta$ -متیل تیوفن در استونیتریل و  $۱ / ۰$  مول ترباوتیل آمونیوم پرکلرات یا ترباوتیل آمونیوم تترافلوئوروبورات انجام می‌گیرد. پتانسیل اعمال شده  $+1 / ۵ \text{ V}/\text{SCE}$  است که به بلور ژرمائیم اعمال می‌شود. پلیمر در حالت اکسیده تهیه می‌گردد و هنگامی که به ضخامت مناسبی رسید با اعمال پتانسیل  $۰ / ۰ \text{ V}/\text{SCE}$  به شکل خنثی کاهش داده می‌شود.

در شکل ۱۲ الف طیف زیر قرمز حالت خنثای PMeT که در الکتروولیت ترباوتیل آمونیوم پرکلرات تهیه شده، در ناحیه  $1800 - 800 \text{ cm}^{-1}$  و  $3100 - 2800 \text{ cm}^{-1}$  دیده می‌شود.

در شکل ۱۲ ب طیف عبوری همین فیلم بین تیغه‌های KBr و

- Science and Engineering (Wiley, New York), Vol.5, p.462 (1986).
- [13] R.J. Waltman and J.Bargon, Tetrahedron, (40), 3963 (1984).
- [14] R.J. Waltman and J.Bargon, Cana.J.Chem. (64), 76 (1986).
- [15] R.N. Adams, Electrochemistry at Solid Electrodes, Marsei Dikker Inc. New York (1969).
- [16] R.N. Adams, Acc.Chem.Res. (2), 175 (1969).
- [17] P.Zuman, Substituent effects in Organic Polarography, Plenum Press, New York (1967).
- [18] C.D.Rhche and W.F.Sagar, "An Examination of Structure reactivity..," in Progresson in Physical Organic Chemistry, Vol.2 (1964).
- [19] A.F.Diaz, A.Martinez, K.Kanazawa and M.Salmon, J. Electroanal.Chem. (130), 181 (1981).
- [20] K.Kaneto, Y.Kohno, K.Yoshino and Y.Inuishi, J.Chem. Soc.Chem.Commun. 382 (1983).
- [21] K.Kaneto, K.Yoshino and Y.Inuishi, Jpn. J.Appl.Phys. (21) L567 (1982).
- [22] G.Tourillon and F.Garnier, J.Electroanal.Chem. (161), 51 (1984).
- [23] G.Tourillon and F.Garnier, J.Phys.Chem. (87), 2289 (1983).
- [24] G.Kossmehl and G.Chalziitheodoreu, Makromol.Chem. Rapid Commun. (2), 551 (1981).
- [25] J.Roncali, A.Yassar and F.Garnier, J.Chem.Soc.Chem. Commun. 581 (1988).
- [26] J.Roncali, F.Garnier, M.Lemaire and R.Garreau, Synth. Met. (15), 323 (1986).
- [27] Y.Cao, D.Guo, M.Pang and R.Qian, Synth. Met. (18), 189 (1987).
- [28] J.Roncali and F.Garnier, Nov.J.Chim., (10), 273 (1986).
- [29] L.H.Shi, J.Roncali and F.Garnier, J.Electroanal.Chem. (263), 155-161 (1989).
- [30] R.J. Waltman, J.Bargon and F.Diaz, J.Phys.Chem. (87)1459 (1983).
- [31] J.Roncali and F.Garnier, New J.Chem. (100) 23 (1986).
- [32] A.Czerwinski, H.Zimmer, C.V.Pham and H.B.Mark, Electrochem.Soc. (132), 2669 (1985).
- [33] Y.Chen, H.Huang and Z.Tian, Chem.J.Chinese.Univ. (7),

از جمله مفیدترین اطلاعاتی که می تواند در جهت بهبود کیفی پلیمرهای رسانا به کار آید، آگاهی از چگونگی مونومر قبل از الکتروپلیمر شدن و تغیرات به وجود آمده در زنجیر در حین افزایش لایه های مونومری است. برای به دست آوردن این اطلاعات روش های آسپکترو-الکتروشیمیایی مختلف به کار گرفته شده اند که هر یک کاربردهای ویژه ای دارند.

همان طور که اشاره شد، روش ATR امکان می دهد تا مقایسه طیف مونومر قبل و بعد از جذب شدن به سطح الکترود، به چگونگی جهت گیری مونومر نسبت به سطح الکترود بپرسیم.

همچنین روش بیویک و بوتر مطالعه تغیرات زنجیرهای پلیمر در حین رشد آنها و همچنین حالتهای مختلف که در هنگام اکسایش و کاهش پلیمر اتفاق می افتد را ممکن می سازد.

در نهایت علی رغم اینکه بسیاری از ابهامات موجود در مسئلله الکتروپلیمر شدن روش شده است ولی تا رسیدن به خواص ایده آل پلیمرهای رسانا، مسائل و مشکلات زیادی باقی است.

## مراجع

- [1] A.F.Diaz, K.K.Kanazawa and G.P.Gardini, J.Chem.Soc. Chem.Commun.635 (1979).
- [2] A.F.Diaz, Chem.Scr. (17), 145 (1981).
- [3] G.Tourillon and F.Garnier, J.Electroanal.Chem. (135), 173 (1982).
- [4] R.J.Waltman, A.F.Diaz and J.Bargon, J.Phys.Chem. (88), 4343 (1984).
- [5] J.Bargon, S.Mohmand and R.J.Waltman, IBM, J.Res.Dev. (27), 330 (1983).
- [6] R.J.Waltman, A.F.Diaz and J.Bargon, Electrochem.Soc. (132), 632 (1985).
- [7] R.Nicholson and Shn, Anal.Chem. (36), 706 (1964).
- [8] A.F.Diaz, J.J.Castillo, J.A.Logan and W.-Y. Lee, J. Electroanal.Chem. (129), 115 (1981).
- [9] R.J.Waltman, J.Bargon and A.F.Diaz, J.Phys.Chem. (87), 1459 (1983).
- [10] R.J.Waltman, A.F.Diaz and J.Bargon, J.Electrochem.Soc. (131) 1452 (1984).
- [11] J.F.Ambrose and R.F.Nelson, J.Electrochem.Soc. (115), 1159 (1968).
- [12] J.E.Fomer and R.R.Chance, in Encyclopedia of Polymer

عوامل بسیاری برای پیوند الیاف شیشه و رزینها آزمایش شدند، ولی بیشتر این پیوندها در مجاورت طولانی با رطوبت شکسته شدند. یکی از محدود موادی که در آزمایش شکسته شدن پیوند با آب جواب مثبت داد، ترکیب سیلیکون دار بود. ادوین پلودمان این مسئله را در دهه ۱۹۵۰ بررسی کرد و آن را با استفاده از سیلانهای دارای گروههای عاملی آلی به عنوان عوامل جفت کننده، حل کرد. وی ثابت کرد که گروه عاملی سیلانول با سطح شیشه‌ای آبدوست واکنش داده و گروه عاملی آلی با رزین پیوند می‌دهد.

امروزه ترکیبات آلی سیلانی به طور گسترده به عنوان عوامل جفت کننده برای بسیاری پرکننده‌های رزینی به کار می‌روند. ادوین ۷۵ اختصار ثبت شده برای محصولات پژوهشهاش در اداره ثبت اختراعات امریکا دارد. وی همچنین این نتایج را در ۷۰ مقاله در مجلات صنعتی و "عوامل جفت کننده سیلانی" توصیف کرده که توسط انتشارات پلن در ۱۹۸۲ چاپ شده است. ادوین پلودمان در ۱۹۷۱ جایزه بهترین مقاله و همچنین عنوان "مرد سال" را از صنعت پلاستیک دریافت کرد. در ۱۹۸۴ جایزه اختراعات خلاق انجمن شیمی امریکا به وی تعلق گرفت.

ادوین در ۱۷ مارس ۱۹۱۱ در گالیون اوهايو متولد شد. پدر بزرگ و پدر وی کشیشان کلیساهاي متديست آلمان بودند. پدرش همچنین فارغ التحصيل از داشتگاه ايانلي اوهايو بود. ادوين پس از پيان تحصيلاتش در ديرستان گالیون، در كالج بالدوين - والاس ثبت نام کرد و در ۱۹۴۸ از آنجاليسانس گرفت. وی به عنوان شيميدان دستيار در داشتگاه ايانلي اوهايو کار می کرد و در ۱۹۴۶ از آنجادکنرا گرفت.

دکتر پلودمان ۵ سال (۱۹۴۷-۱۹۴۲) با کارخانه تولید کلوسوتاکو کار کرد و بعد از آن به شركت شیشه LOF پيوست و در ۱۹۵۳ LOF را به قصد همکاري با بخش بارت شركت الайд كميکال ودای ترك کرد. وی ييش از ۴۰ سال را صرف پژوهش در زمينه سیلانها کرده است. ابداع جورابهای ضد بو، نتیجه یکی از پژوهشهاي پلودمان است. وی هم اکنون ۶۹ سال دارد و همچنان به پژوهش در زمينه های ياد شده مشغول است.

917 (1986).

پيان نامه کارشناسي ارشد، تاليف بهزاد پور عباس خيرالدين، سال [34] تحصيلي ۷۱-۱۳۷۰.

پيان نامه کارشناسي ارشد، تاليف ناصر ارسلاني، سال تحصيلي [35] ۱۳۶۸-۶۹.

[36] S.Dang, W.Zhang, Yingyong Huaxue, 8 (1), 50 (1991).

[37] Y.Chen, H.Hunang and Z.Tian, Chem.J.Chinese.Univ. (7), 917 (1986).

[38] R.De Surville, M.Jozefowicz, J.Perchon and R.Bavet, Electrochim. Acta, (13), 1451 (1968).

[39] A.G.MacDiarmid, J.C.Chiang, M.Halpern, W.S.Huang, S.Mu, N.L.D. Somasiri, W.Wu and S.T.Yanger, Mol.Cryst. Liq.Cryst. (121), 143 (1985).

[40] P.A.Christensen, A.Hamnett and A.R.Hillman, J. Electroanal.Chem. (242) 47 (1988).

[41] N.J.Harrek, Internal Reflection Spectroscopy, Wiley-Interscience, New York (1967).

[42] A.Bewick and G.Pons in R.J.H.Clark and R.E.Hester (Eds.), Advances in Infrared and Raman Spectroscopy, Vol.12, Wiley-Heyden, London, P.1 (1985).

[43] P.A.Christensen, A.Hamnett and A.R.Hillman, J. Electroanal.Chem. 242, 47-62, (2988).

[44] P.A.Christensen, A.Hammet and P.R.Trevllick, J. Electroanal.Chem. (242) 23 (1988).

[45](a) A.Hidalgo, J.Phys.Radium (16), 366 (1955).  
(b) M.Rico, J.M.Orza and J.Mocillo, Spectrochim.Acta, (21), 689 (1965).

[46] H.Neugebauer, G.Naver, A.Neckel, G.Tourillon, F.Garnier and P.Hang, J.Phys.Chem. (88), 652 (1984).

### Edwin P.Plueddemann

پلودمان پوششهاي پلimeri در بسترهای فلزی و پیوند آمیزه‌های لاستیک طبیعی به روکش تایر بادی مسئله‌ای است که سرانجام پس از چندین دهه که از شناخت آن می‌گردد با به کارگیری علوم و تکنولوژی پلimer به نحو رضایت بخشی حل شده است. متأسفانه این تکنولوژی به طور مستقیم به کامپوزیتهای شیشه - پلی استر یعنی که حدود نیم قرن پیش عرضه شدند، قابل انتقال نیست.